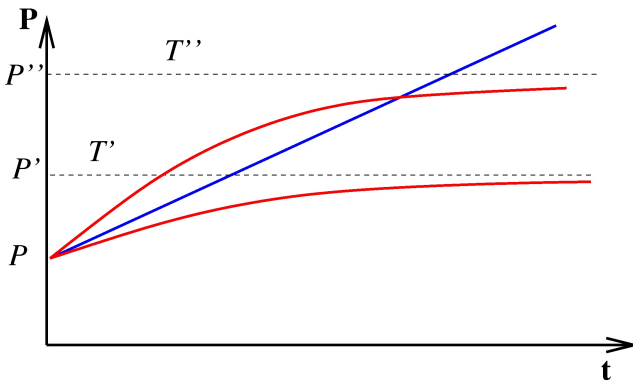


Zjišťování netěsností vakuového systému

- skutečná netěsnost – modře
- virtuální netěsnost (desorpce) – červeně



Typická místa netěsností:

- v místech svarů
- v místech kovových vývodů přes sklo
- v elektrických a optických průchodkách
- ve ventilech, ve spojích (KF, ISO – K, CF,...)
- u kovových částí - pórovitost materiálu

Netěsnost se lépe hledá u skleněných aparatur. Dnes je většina aparatur kovových. Problém hledání netěsností ulehčuje prověrka jednotlivých dílů před montáží.

Hledače netěsností

Zpravidla využívají měření parciálních tlaků zkušebních plynů

Zkušební plyn:

- plyn málo obsažený v atmosféře
- co nejmenší molekulová hmotnost (snadno proniká netěsností)

Nejčastěji se používá He, H₂.

Hledače:

- vodíkový
- halogenový
- heliový

Na přesnost určení netěsnosti má vliv:

- množství zkušebního plynu přivedeného do systému
- poměr čerpací rychlosti systému a jeho objemu
- citlivost hledače netěsností
- vzájemná poloha netěsnosti a hledače

Závislost na poměru čerpací rychlosti systému a jeho objemu

Proud plynu netěsností do aparatury za čas dt je dán $I_N dt$, množství odčerpaného plynu $pSdt$. Pak změna tlaku zkušebního plynu je dána rovnicí

$$Vdp = (I_N - Sp)dt$$

$$\frac{Vdp}{I_N - Sp} = dt$$

$$-\frac{V}{S} \ln(I_N - Sp) = t + konst$$

$$konst = -\frac{V}{S} \ln(I_N)$$

$$\ln\left(\frac{I_N - Sp}{I_N}\right) = - \frac{S}{V}t$$

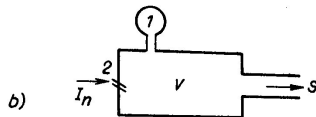
$$\frac{I_N - Sp}{I_N} = e^{-\frac{S}{V}t}$$

$$p = \frac{I_N}{S} [1 - e^{-\frac{S}{V}t}]$$

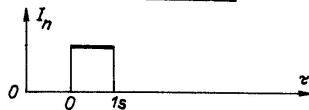
Jestliže v čase t_1 přerušíme přítok zkušebního plynu začne tlak klesat

$$p = \frac{I_N}{S} [1 - e^{-\frac{S}{V}t_1}] e^{-\frac{S}{V}(t-t_1)}$$

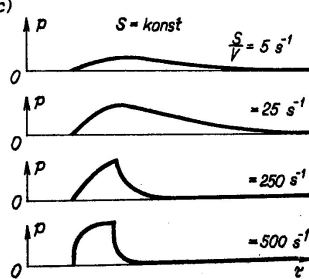
a)



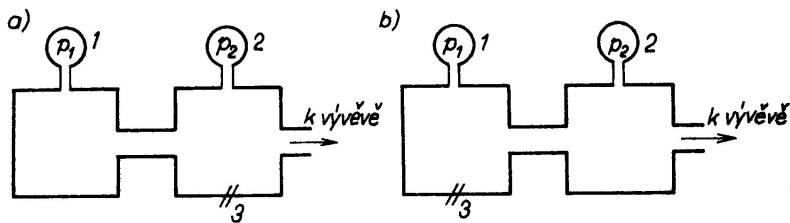
b)



c)



Poloha hledače a netěsnosti

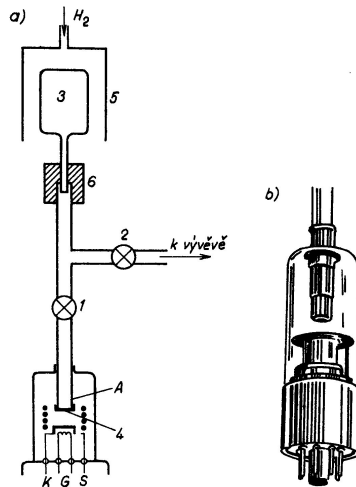


J. Groszkowski: Technika vysokého vakua, SNTL, Praha 1981

Vodíkový hledač netěsností

- detektor: ionizační manometr s paladiovou přepážkou (1100 K), hmotnostní spektrometr, elektronické čidlo
- zkušební plyn: H_2
- pracovní tlak: $10^{-6} - 0,1 \text{ Pa}$ pro ionizační manometr s paladiovou přepážkou
- minimální netěsnost: $10^{-8} \text{ Pam}^3 \text{s}^{-1}$

Vodíkový hledač netěsností

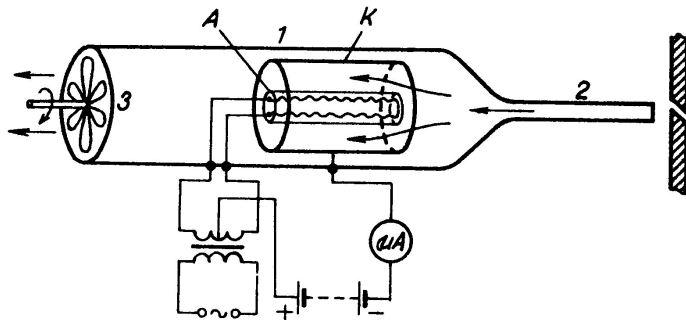


J. Groszkowski: Technika vysokého vakua, SNTL, Praha 1981

Halogenový hledač netěsností

- platinový válec (1200 K) - emituje kladné ionty
- zvýšení emise v přítomnosti Cl
- zkušební plyn: freon
- pracovní tlak: $10^{-4} - 10^5$ Pa
- minimální netěsnost: 10^{-8} Pam³s⁻¹
- může pracovat i metodou přetlaku

Halogénový hledač netěsností

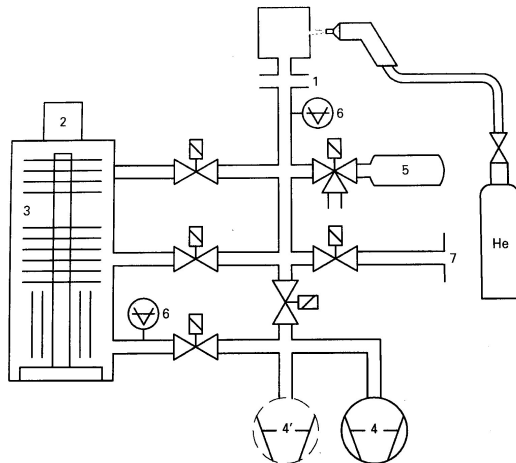


J. Groszkowski: Technika vysokého vakua, SNTL, Praha 1981

Heliový hledač netěsností

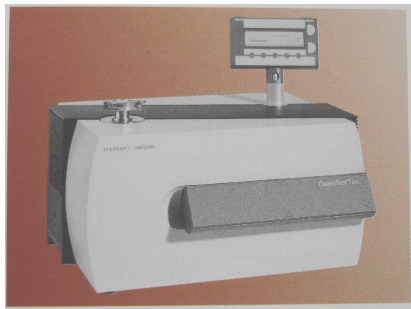
- hmotnostní spektrometr
- zkušební plyn: He
- pracovní tlak: $< 10^{-2}$ Pa
- minimální netěsnost: 10^{-13} Pam³s⁻¹
- může pracovat i metodou přetlaku

Heliový hledač netěsností



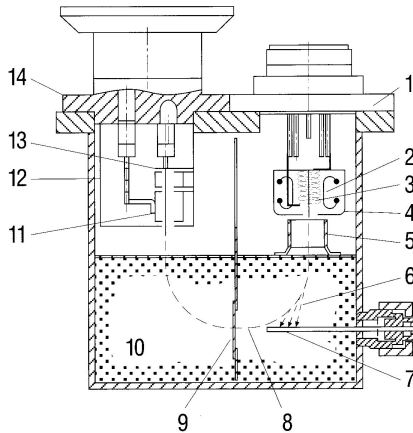
firemní materiály firmy Pfeiffer

Heliový hledač netěsností



firemní materiály firmy Pfeiffer

Malý hmotnostní spektrometr jako detektor He



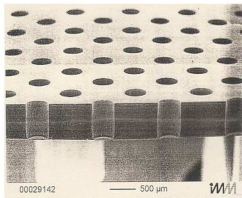
- | | | |
|--|------------------------------|--|
| 1 Ion source flange | 5 Extractor | 10 Magnetic field |
| 2 Cathode
(2 cathodes, Ir + Y_2O_3) | 6 Ion traces for $M > 4$ | 11 Suppressor |
| 3 Anode | 7 Total pressure electrode | 12 Shielding of the ion trap |
| 4 Shielding of the ion source with discharge orifice | 8 Ion traces for $M = 4$ | 13 Ion trap |
| | 9 Intermediate orifice plate | 14 Flange for ion trap with preamplifier |

Heliový hledač netěsností s přepážkou

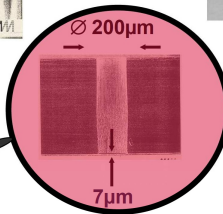
- přepážka z SiO_2 7 μm propouští jen He + Penningův manometr
- jednoduchá konstrukce
- detekční limit $5 \times 10^{-8} \text{ Pam}^3/\text{s}$
- vysoký vstupní tlak až 200 hPa

Quartz Window Technology

Silicium-Wafer with Quartz Window



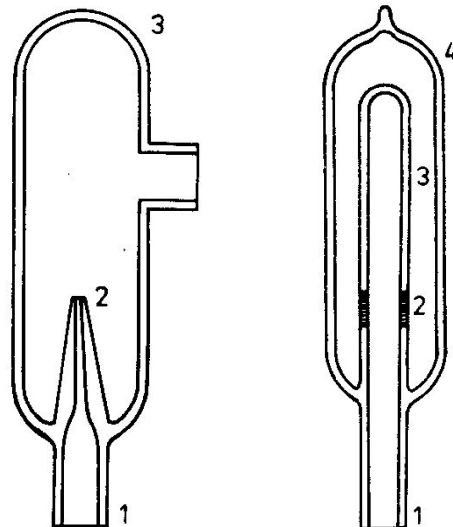
SiO_2 -Wafer



Kalibrovaná netěsnost

Bývá součástí He hledačů netěsností, slouží ke kalibraci detektoru He.

- vakuový prvek s definovanou vodivostí
- úzká skleněná kapilára
- difúzní netěsnost - křemenná přepážka - difúze He
- při proudu plynu $10^{-8} \text{ Pam}^3 \text{s}^{-1}$ a tlaku testovacího plynu v zásobníku 0,2 MPa, nastane pokles proudu plynu o 10% za 10 let



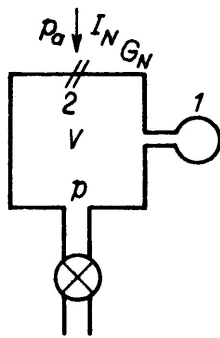
P.Lukáč, V.Martišovitš: Netesnosti vákuových systémov, ALFA, 1980

Jiné metody hledání netěsností

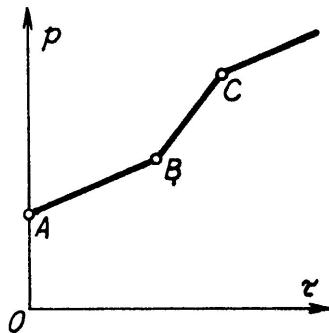
- manometr
- diferenciální manometr
- bublinky ve vodě
- mýdlové bubliny
- u skleněných aparatur - Ruhmkorffův induktor, nebo Teslův transformátor

Hledání netěsností pomocí manometru

a)

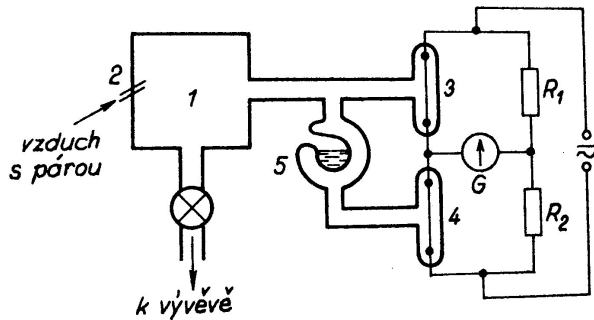


b)



J. Groszkowski: Technika vysokého vakua, SNTL, Praha 1981

Hledání netěsností pomocí diferenciálního manometru



J. Groszkowski: Technika vysokého vakua, SNTL, Praha 1981

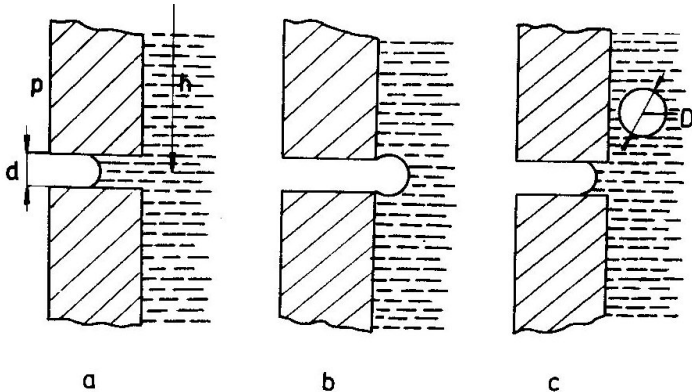
Manometr, diferenciální manometr

- ionizační, nebo odporový manometr
- zkušební plyn - CO₂, H₂, aceton, líh
- pracovní tlak - podle použitého manometru
- minimální netěsnost pro diferenciální zapojení ionizačních manometrů
 $10^{-10} \text{ Pam}^3 \text{s}^{-1}$

Ruhmkorffův induktor a Teslův transformátor

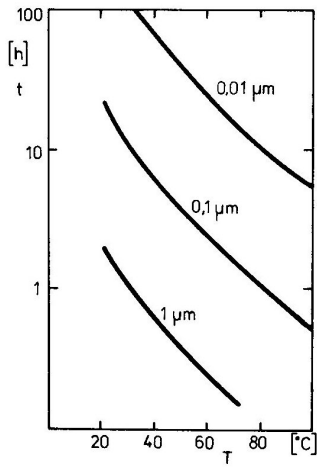
- princip - výboj v plynech
- pracovní tlak 1–100 Pa
- vhodná metoda pro skleněné aparatury
- Ruhmkorffův induktor - nízká frekvence($\sim 10^1$ Hz), vn transformátor(železné jádro)
- Teslův transformátor - vysoká frekvence($\sim 10^5$ Hz), vn transformátor se vzduchovým jádrem

Metoda bublinek, min.netěsnost $D = 0,5$ mm, $t = 30$ s



P.Lukáč, V.Martišovitš: Netesnosti vákuových systémov, ALFA, 1980

Odpáření vody z netěsnosti s délkou 1 cm



P.Lukáč, V.Martišovitš: Netesnosti vákuových systémov, ALFA, 1980

Tabulka: Citlivost metod hledání netěsností

Metoda	tlak [Pa]	min. netěsnost [$\text{Pam}^3\text{s}^{-1}$]
Teslův transformátor	1 – 100	$10^{-3} – 10^{-4}$
bublinky ve vodě	2×10^5	10^{-7}
	4×10^5	10^{-8}
	9×10^5	10^{-9}
halogenový hledač	2×10^5	3×10^{-8}
	4×10^5	7×10^{-9}
	6×10^5	3×10^{-9}
He hledač	2×10^5	5×10^{-9}

Tabulka: Citlivost metod hledání netěsností - podtlak

Metoda	tlak [Pa]	min. netěs. [Pam ³ s ⁻¹]
Odporový manometr	0,1 – 100	10 ⁻⁶
ionizační manometr	10 ⁻⁶ – 0,1	10 ⁻⁷
ionizační manometr dif.zap.	10 ⁻⁶ – 0,1	10 ⁻¹⁰
ionizační manometr s paladiovou membránou	10 ⁻⁶ – 0,1	10 ⁻⁸
halogenový hledač	10 ⁻⁴ – 10 ⁵	10 ⁻⁸
He hledač	< 10 ⁻²	10 ⁻¹³

Tabulka: Kriteria těsností

Název kriteria	[Pam ³ s ⁻¹]
vodotěsnost	10 ⁻³
parotěsnost	10 ⁻⁴
těsnost pro bakterie	10 ⁻⁵
těsnost pro ropné produkty	10 ⁻⁶
těsnost pro viry	10 ⁻⁷
plynnotěsnost	10 ⁻⁸

$$1 \text{ Pam}^3\text{s}^{-1} = 10 \text{ mbarls}^{-1} \sim 43 \text{ gh}^{-1} \text{ pro vzduch, } 20^\circ\text{C}$$

Tabulka: Kriteria těsností

Název kriteria podle objektu	[Pam ³ s ⁻¹]
těsnost nádrží a potrubí	$10^{-1} \sim 10^{-3}$
těsnost výměníků tepla	10^{-4}
těsnost objektů pro zkapal. plyny	10^{-6}
těsnost elektronických součástek	10^{-10}
těsnost pouzder baterie kardiostimulátoru	min. 10^{-10}

$$10^{-10} \text{ Pam}^3\text{s}^{-1} \sim 3,8 \times 10^{-5} \text{ g} = 38 \mu\text{g} \text{ za rok pro vzduch, } 20^\circ\text{C}$$

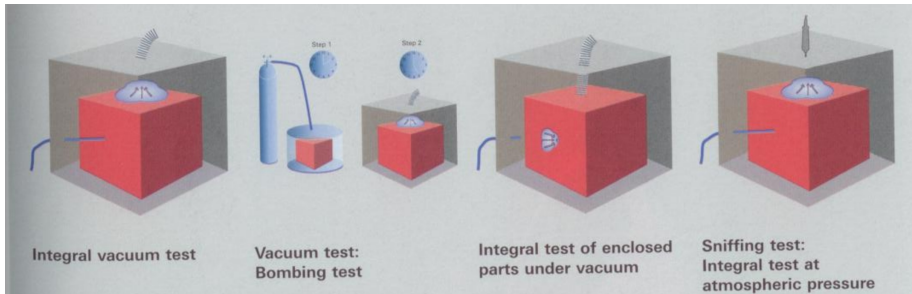
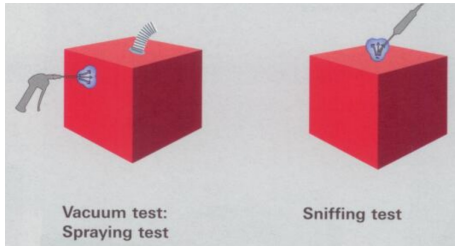
Přehled metod

Určení místa netěsnosti

- vakuový test
- čichací test

Integrální průmyslové testy

- integrální vakuový test
- vakuový bombový test
- integrální test uzavřeného systému
- čichací test při atmosférickém tlaku



firemní materiály firmy Pfeiffer

Další metody hledání netěsností v průmyslu

- ultrazvuk
- infračervené záření
- UV barviva

Cvičení

46) Nabité částice se pohybuje v magnetickém poli. Magnetické pole je kolmé ke směru pohybu. Nabité částice byla urychlena napětím 1000 V, mag. indukce je $B = 0,02 \text{ T}$. Spočítejte poloměr dráhy pro elektron a pro Ar^+ ($M_0 = 40$).

$$\frac{1}{2}m_0v^2 = eU \Rightarrow v = \sqrt{\frac{2e}{m_0}U}$$

$$\frac{m_0v^2}{r} = evB$$

- elektron: $r_1 \doteq 5,3 \text{ mm}$
- Ar^+ : $r_2 = 1,44 \text{ m}$

47) Jak velké urychlovací napětí potřebujeme pro měření argonu a vodíku H_2 v statickém hmotnostním spektrometru s kruhovými drahami?
Pokud poloměr dráhy je 10 mm, magnetické pole $B = 0,4 \text{ T}$,
 $M_{Ar} = 40$; $M_{H_2} = 2$; $e = 1,602 \cdot 10^{-19} C$; $m_u = 1,660 \cdot 10^{-27} kg$.

$$\frac{1}{2}m_0v^2 = eU$$

$$\frac{m_0v^2}{r} = evB$$

- H_2 : $U_1 \doteq 386 \text{ V}$
- Ar: $U_2 \doteq 19,3 \text{ V}$

48) Jaká bude doba průletu iontu Ar^+ a N^+ v průletovém spektrometru TOF? Délka TOF $L = 1 \text{ m}$, urychlovací napětí 40 V .

$$\frac{1}{2}m_0v^2 = eU \Rightarrow v = \sqrt{\frac{2e}{m_0}U}$$

$$t = \frac{L}{v}$$

- N: $t_1 \doteq 4,2 \times 10^{-5} \text{ s}$
- Ar: $t_2 \doteq 7,1 \times 10^{-5} \text{ s}$

49) Jaký potřebujeme získat tlak v spektrometru TOF v příkladu 48, aby střední volná dráha častic byla větší než L ? Efektivní průměr častic $d = 3,7 \times 10^{-10} \text{ m}$.

$$p = nkT ; \lambda = \frac{1}{\sqrt{2n\pi d^2}} = 1 \text{ m}$$

$$p \doteq 6,8 \times 10^{-3} \text{ Pa}$$

50) Z rovnice pro dráhu iontů v Omegatronu odvod'te vztah pro poloměr dráhy iontu s cyklotronovou frekvencí.

$$r = \frac{E_0}{B(\omega - \omega_c)} \sin\left(\frac{1}{2}(\omega - \omega_c)\tau\right)$$

$$\lim_{\omega \rightarrow \omega_c} r = \frac{1}{2} \frac{E_0}{B} \tau$$

- 51)** Aparatura má objem $V = 1 \text{ L}$, je v ní tlak 1 Pa a netěsnost kterou natéká vzduch proudem $I = 10^{-6} \text{ mbarL/s}$. Jak se změní tlak v komoře za 24 hodin?

- 52) Kalibrovaná netěsnost má objem 1 L počáteční tlak 2×10^5 Pa a proud plynu $I = 10^{-7}$ Pam 3 s $^{-1}$. Za jak dlouho se v ní sníží tlak o 5 %?

- 53)** Mýdlová bublina, která detekuje vakuovou netěsnost vznikne za 4 s a má průměr 2 mm. Určete proud plynu netěsností a vakuovou vodivost netěsnosti.

- 54) Tlak v aparatuře v čase 0 s je $6,3 \times 10^{-2}$ mbar, v čase 530 minut je $8,2 \times 10^{-2}$ mbar. Aparatura má tvar koule s poloměrem 40 cm. Určete proud plynu netěsností?

- 55)** Máme netěsnost o velikosti $1 \times 10^{-10} \text{ Pam}^3\text{s}^{-1}$. Jakému množství vzduchu o teplotě 20°C v [g] to odpovídá za rok?

55) Ve vakuové komoře vznikne při montáži dutina s objemem 1 cm^3 , která je s komorou spojena tenkou kapilárou s vakuovou vodivostí 10^{-6} L s^{-1} . Za jak dlouho tuto dutinu vyčerpáme z tlaku 10^5 Pa na tlak 1 Pa ? Mezní tlak aparatury je $\ll 1 \text{ Pa}$.